

# Relatório do trabalho 4

Allan Nozomu Fukasawa RA:163527

10/06/2019

## 1 Introdução

O objetivo deste trabalho é aplicar técnicas de detecção de pontos de interesse para, a partir de um par de imagens, criar uma imagem panorâmica pela ligação entre os pontos de interesse, formando uma correspondência.

Os passos seguidos para a execução do trabalho foram extraídos de sua especificação. [1]

## 2 Componentes

Está sendo enviado junto a este relatório os seguintes arquivos e diretórios:

- arquivo Trabalho 4.ipynb: contém todo o código executado durante este trabalho.
- quatro imagens utilizadas durante o processamento (todas disponíveis pelo professor no seguinte link [http://www.ic.unicamp.br/~helioimagens\\_registro](http://www.ic.unicamp.br/~helioimagens_registro). No arquivo do Jupyter Notebook, está sendo utilizada as imagens *foto4A.jpg* e *foto4B.jpg*, as imagens respectivamente 1 e 2.
- resultados em formato de imagem, tanto a imagem final (panorâmica) quanto a imagem de relação entre os pontos em comum entre as duas imagens respectivamente as imagens 4 e 3.



Figura 1: Imagem A



Figura 2: Imagem B

### 2.1 O Programa

O programa foi implementado com Jupyter Notebooks, usando Python 3.7.1. As bibliotecas utilizadas no desenvolvimento do programa foram, com suas respectivas versões:

- numpy (1.15.4): para manipulação dos vetores.
- matplotlib (3.0.2): visualização dos dados, resultados finais e intermediários.
- opencv (3.4.2): realização da leitura e escrita das imagens, transformação das cores (tanto em escala de cinza quanto na coloração de RGB para BGR).

## 2.2 Formato das imagens

As imagens de entrada estão no formato .jpg. As imagens de saída, tanto as finais quanto as intermediárias se encontram no formato .jpeg.

## 3 Leitura, escrita e plotagem das imagens

### 3.1 Leitura das imagens

A imagem de entrada é lida com função **cv2.imread** que armazena a imagem em um **numpy.ndarray** de 3 dimensões (MxNx3).

Depois de lida, uma cópia da imagem é convertida para níveis de cinza pela função **cv2.cvtColor**, pois os algoritmos de detecção de pontos de interesse tem de estar em escala de cinza. A imagem original também teve que sofrer mudanças quanto a conversão de cores, pois por padrão, o OpenCV lê a imagem e armazena-a em formato de cores BGR. Portanto, foi-se utilizado a conversão para RGB para visualização dos dados usando matplotlib e depois convertida novamente para BGR na hora de salvar os resultados.

### 3.2 Escrita das imagens

Também foi feita uma função auxiliar para facilitar na saída das imagens utilizando a função **cv2.imwrite**. Assim como dito anteriormente, antes de salvar as imagens, foi convertida novamente do formato RGB para BGR.

### 3.3 Plotagem das imagens

Foi utilizado para visualização dos resultados as funções de plotagem de imagens em **matplotlib.pyplot**.

## 4 Solução

### 4.1 Pontos de interesse

Para a detecção dos pontos de interesse das imagens, primeiramente foi-se convertida em escala de cinza. Depois, foram utilizadas 3 algoritmos diferentes, sendo todos apresentando resultados bem similares:

- SIFT (Scale Invariant Feature Transform): utilizando *cv2.xfeatures2d.SIFT\_create()*
- SURF (Speed Up Robust Feature): utilizando *cv2.xfeatures2d.SURF\_create()*
- ORB (OrientedFAST, Rotated BRIEF.): utilizando *cv2.ORB\_create()*

Depois de identificado cada um dos pontos de interesse, foi-se computado as distâncias (similaridades) entre cada descritor das duas imagens. Para isso, utilizou-se uma correspondência utilizando um método de força bruta, onde para cada ponto é verificado a distância euclidiana entre todas as features e verifica-se qual é o par que apresenta a menor distância.

Além disso, é aplicado o algoritmo de KNN (K-Nearest Neighbours), com 2 vizinhos para verificar se a distância esta no limiar e também para evitar pontos falso-positivos. Depois, para cada relação, é aplicado o teste de relação de Lowe. No caso, foi-se utilizado um fator de correspondência de 0.75.

Depois, caso tenha-se encontrado ao menos 4 pontos de interesse em comum, é calculado a matrix de Homografia, utilizando a função do opencv *findHomography* e passando os pontos como parâmetro bem como a técnica empregada que foi a RANSAC (RANDOM Sample Consensus).

Nota-se que há uma limitação na solução apresentada em que a correspondência e também a formação da imagem panorâmica foi só possível ser realizada a partir da imagem da esquerda para a imagem da direita.

### 4.2 Resultados

Seguindo os passos, foi-se estimada a seguinte matriz de homeografia:

$$\begin{bmatrix} 1.15562971 + 00 & 1.09434802 + 00 & -2.19606581 + 02 \\ -1.09444476 + 00 & 1.15562133 + 00 & 2.12948548 + 02 \\ 5.29573677 - 07 & 2.21007038 - 07 & 1.00000000 + 00 \end{bmatrix}$$

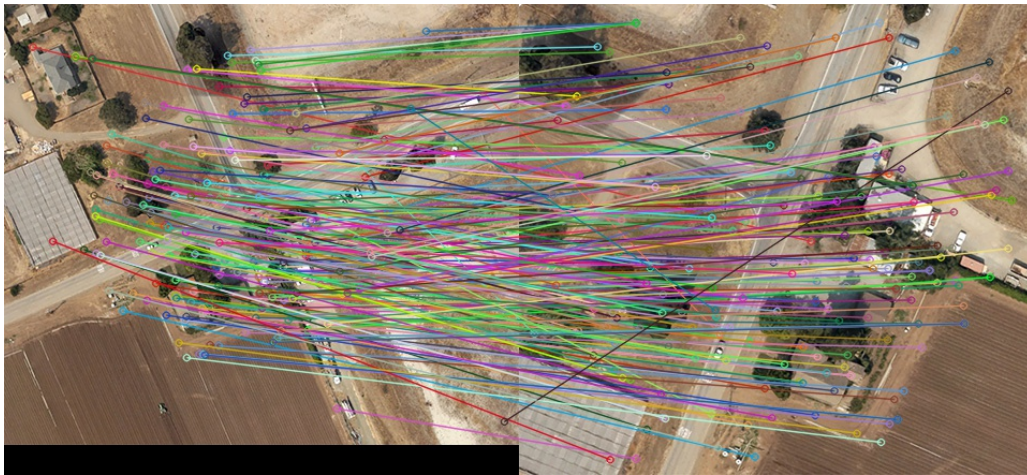


Figura 3: Linhas de correspondência entre as duas imagens, utilizando-se SURF

Além disso, utilizando a função *drawMatchesKnn* foi possível desenhar os pontos de correspondência entre as duas imagens disponíveis na imagem 3 obtidos através das correspondências obtidas.

Utilizando a função *warpPerspective* foi possível também unir as duas imagens formando uma panorâmica. Para isso, primeiramente a imagem a direita foi desenhada em uma imagem resultante de no máximo a soma das duas larguras e a maior altura. Depois, sobreescreveu-se a imagem a esquerda, obtendo o resultado da imagem 4



Figura 4: Resultado da imagem panorâmica formada pelas duas imagens

## 5 Conclusão

Após a execução de todos os procedimentos foi possível formar a imagem panorâmica, mas com a limitação de formar a imagem da esquerda para a direita. Sendo assim, apenas é possível sobreescrever uma imagem sobre a outra e não o contrário.

Podemos perceber que, tanto no SIFT quanto no SURF, o número de pontos por padrão foi substancialmente maior do que o do ORB. Porém é possível alterar adicionando novos parâmetros para a detecção de novos pontos de interesse no ORB. Porém, em todos, os números de pontos foi suficiente para se realizar a imagem panorâmica e também para o cálculo da matriz de homografia.

Além disso, as imagens a serem unidas podem apresentar diferentes contrastes, níveis de brilho e cores, o que leva a clara detecção da união das imagens. Portanto, para melhores resultados, ainda é necessário fazer um pós processamento para nivelar os níveis de cores e contrastes principalmente na união entre elas.

## Referências

- [1] H. Pedrini, *Trabalho 4*. Introdução ao Processamento de Imagens (MC920 / MO443), 2019.